

تحلیل اثر نسبت طول به قطر و فاصله شمع‌ها در گروه شمع بر توابع امپدانس و انتقال در یک مدل مربوط به اندرکنش خاک-شمع-سازه*

احمدرضا محبوبی^(۱)کامران پناگی^(۲)

چکیده در گذشته تحلیل لرزه‌ای سازه‌ها، با توجه به اثر خاک زیرین در افزایش میرایی و زمان تناوب حرکت سازه نسبت به تکیه‌گاه صلب، با چشم‌پوشی از اندرکنش خاک با پی و اعمال حرکت لرزه‌ای به تکیه‌گاه سازه در سطح زمین صورت می‌گرفت. با این حال، بزرگنمایی حرکت سیستم در برخی موارد موجب تردید در فرض محافظه کارانه بودن این رویکرد گردید. هدف مطالعه‌ی حاضر بررسی اثر پارامترهای نسبت طول به قطر و فاصله به قدر شمع‌ها در گروه‌های شمع 2×2 و 3×3 است. افزایش نسبت‌های طول و فاصله به قطر شمع‌ها منجر به افزایش مقدار توابع انتقال در اندرکنش سینماتیک می‌گردد. این اثرات در اندرکنش وابسته به اینرسی به صورت کاهش قسمت حقیقی تابع امپدانس و افزایش قسمت مجازی آن خود را نشان می‌دهند.

واژه‌های کلیدی اندرکنش سینماتیک، اندرکنش وابسته به اینرسی، پی‌های شمعی، تابع انتقال، تابع امپدانس.

The Effects of Piles Spacing and Length to Diameter Ratios on the Soil-Pile-Structure Interaction Phenomenon

A. Mahboubi

K. Panaghi

Abstract The seismic analysis of structures in the past relied on the assumed soil desirable effects as the elongation of excitation period with higher damping. Therefore, imposing earthquake loading at the foundation level fulfilling higher safety requirements was the common practice until occasional movement amplifications demanded more rigorous research. The goal of the current study is to scrutinize the effects of length to diameter and spacing to diameter ratios on the response of soil-pile group-structure systems of 2×2 and 3×3 arrangements. The mentioned parameters' increase in the kinematic interaction study resulted in higher transfer functions. Such changes lead to decrease in the real part and increase in the imaginary part of the impedance functions in the inertial interaction study.

Key Words Kinematic Interaction, Inertial Interaction, Pile Foundation, Transfer Function, Impedance Function.

★تاریخ دریافت مقاله ۸۹/۵/۲۷ و تاریخ پذیرش آن ۹۲/۳/۲۸ می‌باشد.

(۱) نویسنده‌ی مسؤول، دانشیار، گروه ژئوتکنیک، دانشکده مهندسی آب و محیط زیست، دانشگاه شهید بهشتی تهران.

(۲) دانشجوی دکترای خاک و پی، دانشکده مهندسی عمران و محیط‌زیست، دانشگاه تربیت مدرس تهران.

تناوب بارگذاری در برخی موقع، موجب عدم تطابق طیف پاسخ سازه در واقعیت با طیف پاسخ آئین نامه ای گردید. اثرات جنبشی به وسیله ای توابع انتقال وابسته به فرکانس که به صورت نسبت حرکت پی به حرکت میدان آزاد در غیاب سازه تعریف می شوند، مورد بررسی قرار می گیرند.

مطالعات انجام شده در این حوزه اغلب با استفاده از روش های تحلیلی ساده شده مانند رویکرد تیر بر بستر ارتجاعی [3-6] و یا روش های عددی انجام می شوند [7,8]. مدل تیر بر پی وینکلر برای نخستین بار در سال ۱۹۷۰ با موفقیت در تحلیل های دینامیکی مورد استفاده قرار گرفت [9]. پس از آن بحث چگونگی رفتار غیرخطی خاک با استفاده از رویکردهای عددی (روش اجزای محدود، روش المان های مرزی) مورد بررسی بیشتر واقع شد [10,11]. توسعه و تبیین روابط حاکم در روش اجزای مرزی برای بارگذاری لرزه ای به وسیله ای محققان بسیاری صورت گرفته است [12-18]. روش های المان مرزی قادر به اثرا دادن رفتار غیرخطی خاک و یا سطح تماس خاک و شمع نمی باشند. با این حال، این روش برای محدوده وسیعی از مسائل که شامل موج های لرزه ای متفاوت مانند موج های رایلی می شوند، مناسب است.

با ایستی توجه داشت که مسئله ای اندرکنش خاک- سازه-پی مسئله ای همبسته می باشد که در آن اندرکنش خاک با پی (شمع) بر پاسخ سازه اثر می گذارد و پاسخ سازه نیز متقابلاً تغییراتی را بر اندرکنش خاک با پی موجب می گردد. این سیکل رفتاری اغلب در بین مهندسان عمران با گرایش های زلزله و ژئوتکنیک با رویکردهای تا حدودی متفاوت مورد بررسی قرار می گیرد، به گونه ای که مهندسین زلزله خاک در تماس با پی را به صورت فنرهایی با سختی مشخص مدل می کنند و برای دربرگرفتن اثرات میرایی نیز از میراگرهایی که با فنرها موازی می شوند استفاده می کنند و سازه را به گونه ای واقعی تر با در نظر گرفتن نرمی

مقدمه

یکی از کاربردهای مهم شمع ها استفاده از آن ها به عنوان پی برای سازه هایی است که تحت لرزش ماشین آلات دوار (پمپ های دورانی، توربین ها و ...) می باشند. در این گونه سازه ها شمع ها نه تنها موجب افزایش سختی پی می گرددند، بلکه اندرکنش آن ها با خاک اطراف تأثیرات مثبتی بر خصوصیات دینامیکی کل سازه می گذارد. علاوه بر این، شمع ها به عنوان پی در سازه های بنashde برخاک نرم برای بهبود خواص خاک و نیز انتقال بارهای سازه ای به لایه های مستحکم تحتانی مورد استفاده قرار می گیرند. افزایش مقاومت سازه های بلند حساس در برابر بارگذاری جانبی نیز از دیگر موارد کاربرد این گونه پی ها می باشد. مسائل اندرکنشی به طور کلی در پدیده هایی که در آن ها دو جسم دارای سختی متفاوت در کنار یکدیگر قرار می گیرند، مطرح می شوند. این مسئله در مورد پی های شمعی نیز با توجه به این که شمع دارای جنس متفاوتی از خاک اطراف می باشد، صادق است. درنتیجه این پدیده و پاسخ متفاوت اجسام، توزیع نیروها و لنگرهای متفاوتی در سازه و نیروهایی پیش بینی نشده در خاک ایجاد خواهد شد. تغییر مکان های حاصل از بارگذاری لرزه ای نیز از این قاعده مستثنی نیستند. در گذشته، تحلیل لرزه ای سازه های دارای پی های شمعی بدون درنظر گرفتن اثر اندرکنش سینماتیک خاک- شمع، با اعمال حرکت لرزه ای به تکیه گاه سازه در سطح زمین صورت می پذیرفت. این فرض که به دلیل اعمال حرکت ورودی زلزله در سنگ بستر به سازه به طور مستقیم محافظه کارانه تلقی می شد، با انجام تحقیقات بیشتر در مورد اندرکنش سینماتیک خاک- شمع و مشاهده بزرگ نمایی حرکت سازه درنتیجه این پدیده، مورد تردید قرار گرفت [1]. مطالعات بیشتر در این زمینه بر لزوم بررسی اندرکنش خاک- شمع- سازه به عنوان عاملی تعیین کننده در طراحی ایمن سازه ها صحة گذاشت [2]. علاوه بر این، افزایش بیش از حد زمان

آن نیروها و تغییر مکان های دینامیکی اضافی را متحمل می شوند. این امر به دلیل اندرکنش وابسته به اینرسی است. انعطاف پذیری پی به عنوان تکیه گاه، شتاب سازه را از خود متأثر می سازد. انعطاف پذیری پی و میرابی مربوط به اندرکنش خاک- شمع به وسیله ای تابع وابسته به فرکانس امپدانس پی (امپدانس دینامیکی) بیان می شود. مطالعه ای پدیده ای اندرکنش خاک- شمع- سازه در حالت کلی و با دقت بالا توسط رویکرد مستقیم که در آن کل سیستم مورد نظر به صورت پکارچه مدل شده و اثرات رفتار خمیری نیز در صورت وقوع قابل بررسی است، می تواند انجام شود. این روش با وجود مطلوب بودن از نظر دقت نتایج، به دلیل هزینه ای بالای زمانی و محاسباتی مقرر شده و بنابراین استفاده از روش های جایگزین در بین محققین هنوز از جایگاه ویژه ای برخوردار است. در این میان، استفاده از رویکرد بر هم نهی که در آن دو پدیده ای اندرکنش جنبشی و وابسته به اینرسی به صورت جداگانه بررسی شده و در خاتمه تلفیق می گردد، از محبوبیت خاصی برخوردار است. این روش هر چند با فرض رفتار خطی در سیستم مورد استفاده قرار می گیرد، اما به طور کلی دقت لازم در تحلیل های مذکور را به دست می دهد.

مطالعات بسیاری برای درک بهتر اثر پدیده اندرکنش خاک- شمع- سازه انجام پذیرفته است [1-19]. مطالعه حاضر نیز بر بررسی اثر نسبت طول به قطر شمع ها و نسبت فاصله ای بین شمع ها به قطر در گروه شمع بر توابع امپدانس و انتقال در پدیده ای اندرکنش خاک- شمع- سازه به وسیله ای نرم افزار اجزای محدود ABAQUS 6.8 متمرکز شده است. در این بررسی، خاک به صورت یک محیط پیوسته با رفتار غیرخطی محدود که مقدار بار متناظر آن ابتدا برای هر مدل تحت بارهای مختلف استاتیکی بررسی و تعیین گردیده است، در نظر گرفته شده و شمع های بتی دارای رفتار الاستیک خطی با رفتار سر آزاد می باشند.

بیشتر آن در مقایسه با جرم مرکز در نظر می گیرند. در این رویکرد زمان تناوب طبیعی سازه به صورت دقیق تر بررسی می شود و مدهای ارتعاشی بالاتری (به صورت مؤثر) در تحلیل ها تحت پوشش قرار می گیرند. پیامد این رویکرد آن است که رفتار خاک به صورت غیرواقعی مدل می شود و بنابراین حل مزبور از دیدگاه مهندسان ژئوتکنیک چندان منطقی به نظر نمی رسد. این مسئله به صورت عکس برای دیدگاه ژئوتکنیکی قابل طرح است که در آن سازه به صورت جرمی مرکز مدل شده و سعی در مدل سازی رفتار خاک به گونه ای واقعی تر می باشد. در این مقاله نیز از آن جا که در بحث اندرکنش وابسته به اینرسی، بایستی از اینرسی جرم سازه در تحلیل ها بهره گرفت، از جامع ترین واژه مورد استفاده توسط محققان یعنی عنوان «اندرکشن خاک- شمع- سازه» با توجه به نکات مذکور استفاده شد. در غیاب سازه ای اصلی حرکت پی ممکن است متفاوت از حرکت میدان آزاد باشد. میدان آزاد معرف منطقه ای از خاک است که به اندازه ای کافی از پی دور می باشد، به طوری که پی حرکت میدان آزاد را از خود متأثر نمی سازد. این تفاوت در نتیجه های مکانیزم اندرکشن سینماتیک است. اثرات سینماتیک به وسیله ای توابع انتقال وابسته به فرکانس تعریف می شوند. تابع انتقال به صورت نسبت حرکت پی به حرکت میدان آزاد در غیاب سازه تعریف می شود. پس از تغییر اولیه در حرکت لرزه ای زمین که ناشی از وجود پی در منطقه ای مورد نظر می باشد، بایستی در تحلیل دقیق مسائل لرزه ای اثر اندرکشن کینماتیکی شمع و خاک در بارهای اعمال شده به سازه و اثر بارهای اینرسی وارد شونده از سازه به پی مورد بررسی قرار گیرند. ارتعاشات سازه اصلی در نتیجه حرکت پی (متاثر از اندرکشن سینماتیک) موجب ایجاد نیروهای اینرسی سازه ای و لنگرهای واژگون کننده در تکیه گاه سازه می شود. در نتیجه این پدیده، پی و خاک اطراف

پدیده‌ی اندرکش خاک- شمع- سازه، شمع‌ها بتنی و به قطر ۵۰ سانتی‌متر می‌باشند. طول شمع‌ها در حالات مختلف تحلیل برابر با ۸، ۱۰ و ۱۲/۵ متر در نظر گرفته شده است و بنابراین نسبت طول به قطر شمع‌ها به ترتیب برابر با ۱۶، ۲۰ و ۲۵ به دست آمد. همچنین نسبت فاصله به قطر شمع‌ها برابر با ۲/۵ در نظر گرفته شد. در مطالعه‌ی اثر نسبت فاصله‌ی بین شمع‌ها به قطر در گروه شمع بر پدیده‌ی اندرکش خاک- شمع- سازه جنس شمع‌ها از بتن و طول و قطر آن‌ها به ترتیب برابر با ۸ و ۰/۴ متر (نسبت طول به قطر برابر با ۲۰) در نظر گرفته شد. سه نسبت فاصله به قطر برابر با ۲/۵، ۴ و ۶ برای در نظر گرفتن اثرات تغییر عمل کرد گروهی بر نتایج تحلیل‌ها انتخاب گردیدند. قابل ذکر است که سر شمع‌ها در کلیه‌ی تحلیل‌ها دارای ضخامت ۰/۶ متر و سطح بالایی سر شمع‌ها هم‌سطح با سطح زمین در نظر گرفته شدند. در ادامه، از مطالعه‌ی اثر نسبت طول به قطر شمع بر پدیده‌ی اندرکش خاک- شمع- سازه به عنوان مطالعه‌ی اول و از مطالعه‌ی اثر نسبت فاصله بین شمع‌ها به قطر در گروه شمع بر این پدیده به عنوان مطالعه‌ی دوم یاد می‌شود.

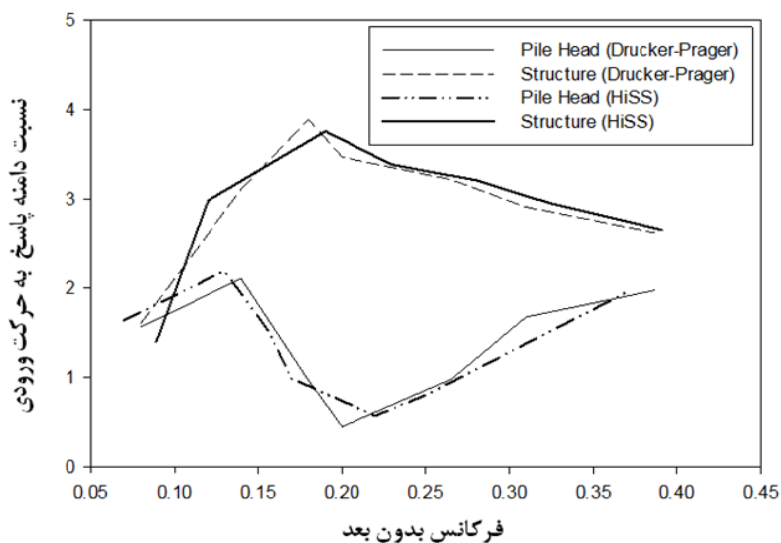
مشبندی مدل‌ها بایستی به گونه‌ای صورت می‌گرفت تا از انعکاس امواج لرزه‌ای به داخل مدل جلوگیری شود. این کار مستلزم افزایش اندازه‌ی مدل اجزای محدود با توجه به وجود میرایی در خاک می‌باشد. اما محدودیت موجود از نظر زمان محاسبات، موجب می‌شود تا ایده‌ی استفاده از مرزهای گذرا در کناره‌های مدل مورد توجه قرار گیرد. علاوه بر این، مش اجزای محدود در کناره‌ها درشت و در نزدیکی مدل گروه شمع ریز انتخاب شد. المان‌های مورد استفاده در همه‌ی مدل‌ها از نوع شش وجهی هشت‌گرهی انتخاب شدند که در میانه‌های مدل از نوع محدود و در مرزهای جانبی نامحدود بودند.

در ضمن جدایش بین خاک و شمع در مدل‌سازی در نظر گرفته شده و شبیه‌سازی مرزهای جانبی به صورت نامحدود صورت گرفته است. گروه‌های شمع با آرایش‌های مربعی 2×2 و 3×3 در خاک ماسه‌ای متراکم قرار گرفته و تحت بارگذاری دینامیکی بررسی شده‌اند.

روند مدل‌سازی

مدل‌سازی عددی مطالعه‌ی حاضر ابتدا برای گروه شمع 2×2 مورد صحبت سنجی قرار گرفته است. این کار با مقایسه‌ی نتایج حاصل از مدل‌سازی حاضر با مطالعه‌ی Maheshwari et al. (2004) با در نظر داشتن این نکته که مدل رفتاری خاک و نحوه‌ی مدل‌سازی مرزها متفاوت می‌باشند، انجام گردیده است شکل (۱) [11]. هدف (Maheshwari et al. 2004) به دست آوردن تغییرات نسبت دامنه‌ی پاسخ در سطح زمین به دامنه‌ی حرکت ورودی در سنگ بستر با فرکانس بدون بعد بود. مدل‌سازی مرزها با استفاده از المان‌های کلوبین صورت گرفته و مدل رفتاری مورد استفاده برای خاک مدل HiSS بوده است. فرکانس بدون بعد به صورت نسبت حاصل ضرب فرکانس زاویه‌ای و قطر شمع به سرعت موج بر بشی در محیط تعریف می‌شود. مرزها در مطالعه‌ی حاضر از نوع نامحدود است و مدل رفتاری در اکر-پرگ برای خاک در نظر گرفته شده است. در این مدل‌سازی‌ها شمع‌ها دارای سطح مقطع مربع با بعد ۵۰ سانتی‌متر و ارتفاع ۱۰ متراند و فاصله‌ی مرکز به مرکز شمع‌ها $2/5$ متر می‌باشد. با وجود این تفاوت‌ها در مدل‌سازی، اختلاف جواب‌های به دست آمده در حد قابل قبولی می‌باشد.

پس از اعتماد از صحبت مدل عددی توسعه داده شده، گستره‌ی خاک در هر امتداد برابر با ۲۰ متر در نظر گرفته شد. گروه‌های شمع مورد بررسی تحت بارگذاری‌های لرزه‌ای تناوبی با فرکانس متفاوت قرار گرفتند. در مطالعه‌ی اثر نسبت طول به قطر شمع بر



شکل ۱ مقایسه نتایج مربوط به صحت‌سنجی مدل حاضر با نتایج حاصل از تحقیق [11] Maheshwari et al. (2004)

جدول ۱ خصوصیات مصالح خاک، شمع و سازه در مطالعه‌ی حاضر

جزء مدل	جنس مصالح	خصوصیات مصالح
خاک	ماسه	$E=80 \text{ MPa}$, $\nu=0.35$, $\rho=1900 \text{ kg/m}^3$, $\phi=35^\circ$, $\psi=5^\circ$
شمع	بتن	$E=21 \text{ GPa}$, $\nu=0.20$, $\rho=2400 \text{ kg/m}^3$
سازه	مجازی	$\rho=50000 \text{ kg/m}^3$

سینماتیکی برای گره‌های سطوح در مجاورت یک دیگر ایجاد می‌کند، به کار گرفته شد. رفتار تماسی در جهت نرم‌مال بین سطوح از نوع "سخت" با قابلیت اجازه‌دادن سطوح چسبیده به هم در صورت تجاوز از مقادیر آستانه در نظر گرفته شد.

یک جرم دارای حجم واحد که بار ۵۰۰ کیلو نیوتون را به سر شمع اعمال می‌نمود، برای مدل کردن سازه در مطالعه‌ی مربوط به اندرکنش وابسته به اینرسی در نظر گرفته شد. با توجه به پلاستیسیته‌ی کم به وجود آمده در توده‌ی خاک، قانون رفتاری از نوع دراکر-پراگر اختیاب گردید تا نتایج واقع گرایانه‌ای به دست آید. جدول (۱) خصوصیات مصالح خاک، شمع و سازه‌ی مورد استفاده در این مطالعه را نشان می‌دهد.

در همه تحلیل‌ها جدایش بین شمع و خاک در نظر گرفته شده است و قانون اصطکاک کولمب برای مدل کردن سطح تماس شمع‌ها و خاک به کار گرفته شد. برای مدل‌سازی سطوح تماس از گرینه‌ی اندرکنش تماسی سطح به سطح استفاده شد که تماس بین سطح شکل‌پذیر (خاک) و سطح صلب (شماعتی) را امکان‌پذیر می‌سازد. گره‌های سطح صلب در محاسبات قادر به نفوذ به گره‌های سطح شکل‌پذیر می‌باشند، اما عکس این حالت امکان‌پذیر نیست. پس از معرفی سطوح در تماس با هم و وضعیت آن‌ها نسبت به یکدیگر، نحوی لغزش سطوح بر هم به صورت لغزش‌های کوچک تعریف شد. برای تعریف خصوصیات مکانیکی اندرکنش تماسی، الگوریتم تماسی پنالتی که قید کمتری نسبت به الگوریتم تماسی

می دهد.

مقادیر ثوابت المان های کلوین با استفاده از روش ارائه شده به وسیله‌ی Novak and Mitwally به صورت ذیل محاسبه می‌شوند [19]:

$$k_r^* = \frac{G}{r_0} [S_1(a_r, v, D) + i S_2(a_r, v, D)] \quad (1)$$

که در آن k_r^* سختی کل، G مدول برشی خاک، r_0 فاصله تا مرز المان محدود، S_1 و S_2 پارامترهای بدون بعد از راه حل های تحلیلی، v نسبت پواسون، i واحد مجازی $\sqrt{-1}$ ، a_r فرکانس بی بعد برابر با $\frac{\omega}{v_s}$ که در آن

(۱) فرکانس زاویه‌ای بارگذاری و v_s سرعت موج برشی در خاک است. قسمت‌های حقیقی و مجازی معادله به ترتیب سختی و میرایی را نشان می‌دهند که برابر با:

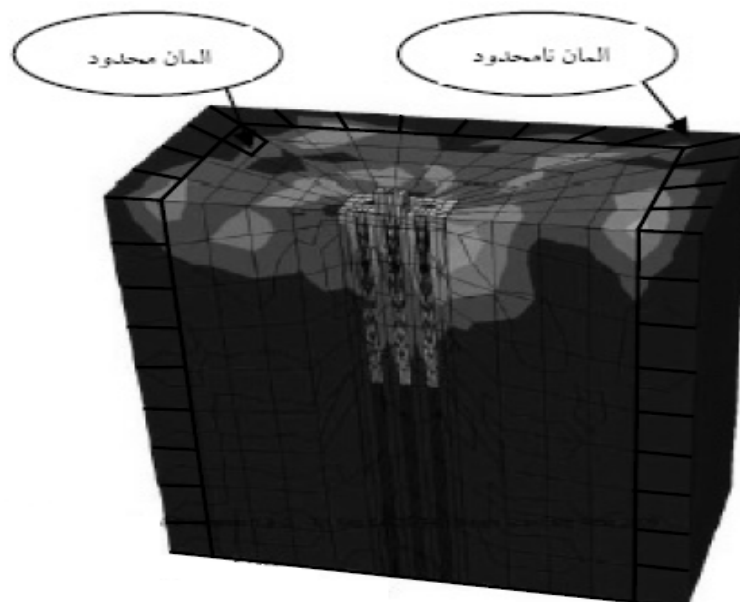
$$K = \frac{GS_1}{r_0}$$

$$C = \frac{GS_2}{\omega r_0}$$

می‌باشد.

شرایط مرزی

مدل‌سازی شرایط مرزی در کناره‌های مدل به صورت کاملاً گذرا انجام شد تا از برگشت امواج لرزه ای به داخل مدل و اثر جعبه‌ای جلوگیری شود. این کار با استفاده از اجزای نامحدود صورت گرفت. این نوع مرز موج‌های لرزه‌ای منتشر را با فرض رفتار الاستیک خطی محیط مجاور خود به طور کامل به بیرون انتقال می‌دهد و از اثرات نامطلوب امواج بازتابی بر نتایج تحلیل عددی جلوگیری می‌کند. در عین حال، المان‌های موجود در داخل بدنه‌ی خاک از نوع المان‌های محدود که در آن‌ها انتشار موج سبب ایجاد تنش‌ها و تغییر‌شکل‌ها و انتقال آن‌ها به المان‌های مجاور می‌گردد، در نظر گرفته شدند. این نوع المان‌ها از نوع شش وجهی هشت‌گرهی که در تحلیل‌های ژئوتکنیکی دقت قابل قبولی ارائه می‌دهند، انتخاب گردیدند. در پستر سنگی نیز از المان‌های کلوین برای مدل‌سازی مرزهای نیمه‌گذرا استفاده شد. المان‌های کلوین به دو گونه فنر و میراگر می‌باشند که فنر سختی موجود مریبوط به محیط خاکی و میراگرها نیز میرایی محیط را تأمین می‌کنند. شکل (۲) نمونه‌ای از مدل‌های ساخته شده و شرایط مرزی به کار گرفته شده در آن‌ها را نشان



شکل ۲ یک نمونه از مدل خاک-گروه شمع ساخته شده برای تحلیل اندرکنش وابسته به اینرسی

مقدار تغییر مکان های سر شمع ناشی از بارگذاری در بستر (پس از تحلیل های مربوط به اندرکنش سینماتیک توسط نرم افزار) می توانند به عنوان ورودی در تحلیل اندرکنش وابسته به اینرسی مورد استفاده قرار گیرند. جدول (۲) مقادیر بارهای انتخابی برای بارگذاری های تناوبی را نشان می دهد.

مقادیر بارهای وارد به سیستم به گونه ای انتخاب شدند تا خاک مورد بررسی در اطراف سر شمع وارد محدوده رفتار خمیری شود. این کار با تحلیل استاتیکی سیستم خاک- شمع با توجه به بار در نظر گرفته شده و به دست آوردن نمودارهای مربوط به کرنش خمیری در خاک با توجه به نمو بار استاتیکی تا کامل شدن آن صورت گرفت.

محاسبه تابع انتقال

تابع انتقال وابسته به فرکانس مطابق رابطه شماره (۲) محاسبه می شود:

$$TF(f) = \frac{|U_p(f)|}{|U_{ff}(f)|} \quad (2)$$

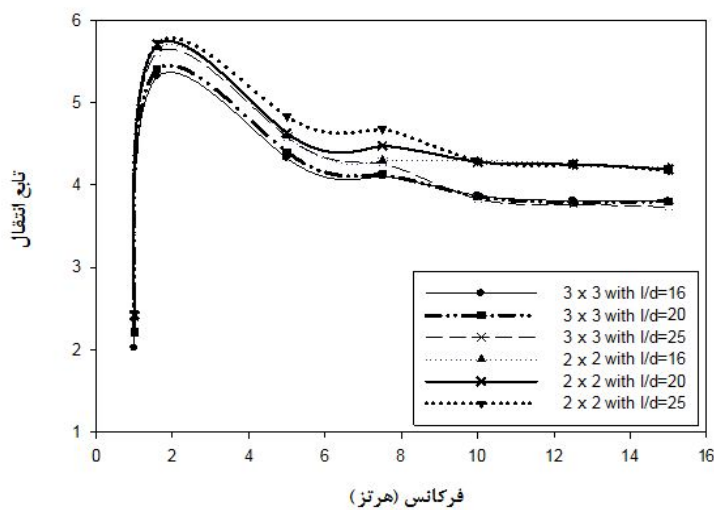
که در آن $|U_p(f)|$ بیشترین پاسخ جانبی در سر شمع و $|U_{ff}(f)|$ پاسخ میدان آزاد در فرکانس ارتعاشی متناظر با آن f می باشد. تحلیل ها برای بارگذاری های ذکر شده در قسمت قبل در هر مورد انجام شدند و نتایج به دست آمده مربوط به مطالعات اول و دوم به ترتیب در اشکال (۴ و ۳) ارائه شده اند.

بارگذاری

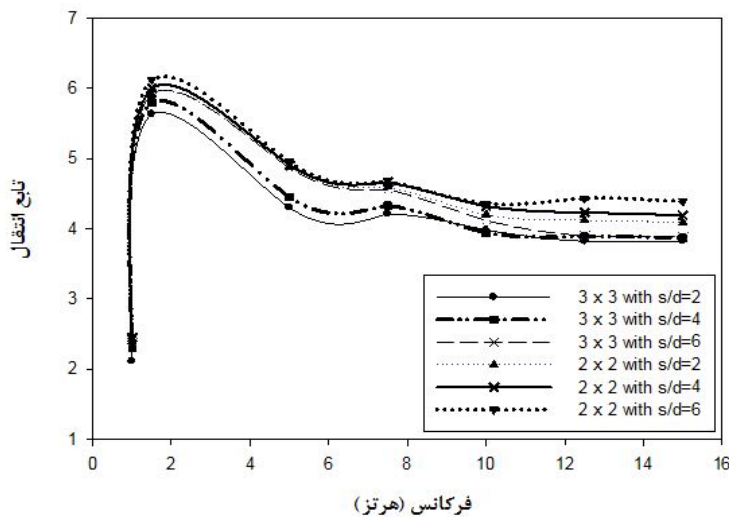
در کلیه تحلیل های مربوط به مطالعه اول بارگذاری های لرزه ای تناوبی با فرکانس های ارتعاشی $1/6, 5, 7/5, 10, 12/5$ و 15 هرتز و با دامنه 180 و 240 کیلو نیوتون برای گروه شمع چهارتایی (2×2) و 280 و 360 کیلو نیوتون برای گروه شمع نه تایی (3×3) به سیستم ها اعمال گردیدند. با توجه به خصوصیات سیستم های مورد بررسی، مقدار فرکانس طبیعی متناظر با مد اول سیستم ها در حدود $1/6$ هرتز بود. از آنجا که در تحلیل های مربوط به مطالعه دوم، مقدار فرکانس طبیعی متناظر با مد اول سیستم ها تقریباً برابر با $1/5.6$ هرتز به دست آمد، بارگذاری های لرزه ای تناوبی با فرکانس های ارتعاشی $1/5, 5, 7/5, 10, 12/5$ و 15 هرتز برای مطالعه دوم در نظر گرفته شدند. در بارگذاری های تناوبی اعمال شده، بارگذاری سیستم تا رسیدن سیستم به حالت پاسخ یکنواخت ادامه یافت و لذا زمان تحلیل ها به تناسب فرکانس بارگذاری به گونه ای انتخاب شد تا از طرفی تحلیل ها از نظر محاسباتی مقرر به صرفه باشند و از سویی دیگر از رسیدن به حالت پاسخ یکنواخت در سیستم یقین حاصل شود. در بررسی اندرکنش سینماتیک، بارگذاری ها به کف مدل و در اندرکنش وابسته به اینرسی بارگذاری ها به سر شمع ها اعمال گردیدند. مقادیر خروجی از نرم افزار به صورت تغییر مکان در سر شمع در هر 10° ثانیه ثبت شدند.

جدول ۲ مقادیر بار انتخابی برای بارگذاری های تناوبی مورد استفاده در مطالعه حاضر

بار اعمال شده به هر آرایش گروه شمع بر حسب کیلو نیوتون		نوع تحلیل
نه تایی (3×3)	چهارتایی (2×2)	
۲۸۰	۱۸۰	اندرکنش سینماتیک
۳۶۰	۲۴۰	اندرکنش وابسته به اینرسی



شکل ۳ مقایسه تغییرات تابع انتقال با فرکانس برای گروههای شمع 2×2 و 3×3 با توجه به نسبت‌های طول به قطر متفاوت



شکل ۴ مقایسه تغییرات تابع انتقال با فرکانس برای گروههای شمع 2×2 و 3×3 با توجه به نسبت‌های فاصله به قطر متفاوت

خاک-شموع در فرکانس‌های بالاتر و نزدیکی رفتار سیستم‌های دارای سختی متفاوت با هم توضیح داده شود. در مطالعه دوم توابع انتقال به دست آمده در گروههای شمع 2×2 به طور کلی دارای مقادیر بالاتری نسبت به گروههای شمع 3×3 می‌باشند. این مسئله می‌تواند به سختی کمتر این سیستم‌ها در مقایسه با گروههای دارای تعداد شمع بیشتر نسبت داده شود. در ضمن افزایش مقدار تابع انتقال در فرکانس حدود ۱/۵ هرتز می‌تواند به اثر تشدید مربوط به نزدیکی فرکانس ارتعاش در این محدوده به فرکانس طبیعی مدد اول

این اشکال نشان می‌دهند که در سیستم‌های دارای سختی کمتر یعنی سیستم‌های دارای نسبت طول به قطر بزرگ‌تر و یا نسبت فاصله بین شمع‌ها به قطر بزرگ‌تر، اثر اندرکنش سینماتیک که در قالب توابع انتقال بررسی می‌شود، به صورت افزایش مقدار تغییرمکان‌های سرشع نسبت به سیستم‌های سخت‌تر خود را نشان می‌دهد. این مسئله در فرکانس‌های ارتعاشی بالاتر و نزدیک به فرکانس طبیعی سیستم‌های دارای سختی بیشتر، به گونه‌ای محدودتر خود را نشان می‌دهد. این نتیجه می‌تواند به ارتعاش بیشتر سیستم

ذکر شده می‌باشد. می‌توان ملاحظه نمود که اثر افزایش نسبت طول به قطر و یا فاصله به قطر شمع‌ها به صورت کاهش قسمت حقیقی تابع امپدانس می‌باشد. این مسئله می‌تواند به دلیل کاهش سختی در سیستم در اثر افزایش طول شمع‌ها و یا افزایش فاصله‌ی شمع‌ها باشد. کاهش ناگهانی مقدار حقیقی تابع امپدانس در برخی از فرکانس‌های ارتعاشی می‌تواند به دلیل افزایش ارتعاش در فرکانس‌های مورد نظر به دلیل تقارن با فرکانس‌های طبیعی سیستم خاک-شمع باشد.

سیستم‌های دارای تعداد شمع بیشتر و یا نسبت فاصله به قطر کم‌تر، سختی بیشتری را از خود نشان می‌دهند. این مسئله را می‌توان با توجه به مقادیر بالاتر قسمت حقیقی تابع امپدانس مربوط به این سیستم‌ها در نمودارها مشاهده نمود. علاوه بر این، مقدار کاهش بیشتر سختی در نزدیکی برخی از فرکانس‌ها را می‌توان به ارتعاش بیشتر سیستم در آن محدوده‌ها به دلیل وجود فرکانس‌های طبیعی متفاوت سیستم در مدهای ارتعاشی مختلف نسبت داد. از آنجا که میزان کرنش پلاستیک در مطالعه‌ی حاضر به صورت محدود (آستانه‌ی ایجاد کرنش پلاستیک در بارگذاری استاتیکی مربوط به خروجی نرم‌افزار) در نظر گرفته شده است، میرایی ویسکوز می‌تواند نمایانگر میرایی در سیستم باشد.

بخش عمده‌ی میرایی در این حالت مربوط به میرایی تشعشعی است. این گونه میرایی در نتیجه‌ی وجود سختی متفاوت دو سیستم در حال ارتعاش در مجاورت یکدیگر می‌باشد. از خصوصیات این میرایی، وابستگی آن به مقدار تماس سطوح در مجاورت یکدیگر است، به گونه‌ای که مقدار این میرایی با میزان سطوح در تماس با یکدیگر رابطه‌ی مستقیم دارد. از آنجا که در سیستم‌های دارای سختی کم‌تر جدایش بیشتری بین شمع و خاک روی می‌دهد، می‌توان انتظار داشت که میزان میرایی در این سیستم‌ها دارای مقدار کم‌تری باشد. اما همان‌گونه که در شکل (۷) می‌توان مشاهده کرد این میزان در سیستم‌های دارای سختی

سیستم ربط داده شود. در کلیه‌ی تحلیل‌های صورت گرفته مقدار بارگذاری در کف مدل به گونه‌ای در سطح آن توزیع شد تا مقدار بار تناوبی موردنظر که به سیستم اعمال می‌شود، حاصل گردد. لازم به ذکر است که مقادیر توابع انتقال به دست آمده با توجه به نوع بارگذاری لرزه‌ای می‌توانند تغییر نمایند و صرفاً زمان بارگذاری لرزه‌ای در این مورد تعیین کننده نیست.

محاسبه تابع امپدانس

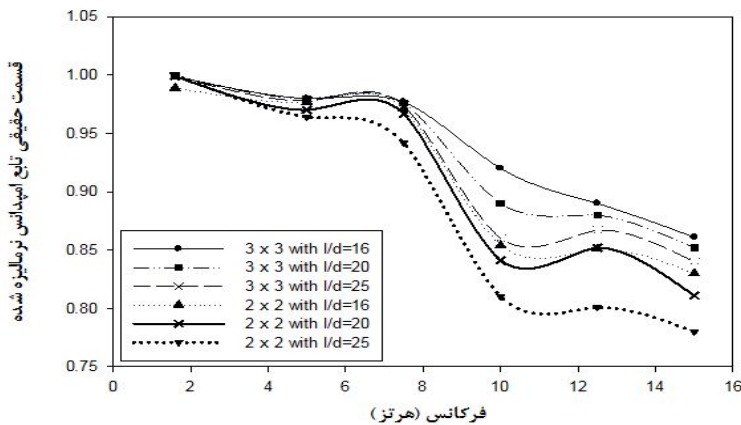
تابع امپدانس (IF) یک سیستم خاک-شمع بهوسیله‌ی سختی و میرایی سیستم معرفی می‌گردد و تابعی از فرکانس ارتعاش (فرکانس تابع بارگذاری) و مقدار نیروی محرك می‌باشد. سختی دینامیکی مختلط K_0 در فضای فرکانسی می‌تواند با به کاربردن یک بارگذاری حقیقی با دامنه‌ی مشخص P_0 در سرشع و در نظر گرفتن دامنه‌ی پاسخ مختلط U_0 در فرکانس‌های ارتعاشی مختلف سنجیده شود. هنگامی که پاسخ به حالت یکنواخت می‌رسد، ماکریم مقدار دامنه‌ی پاسخ U_0 و تأخیر زمانی متناظر با آن θ_0 با توجه به دامنه‌ی نیروی به کار رفته از نمودار تغییرمکان-تاریخچه‌ی زمانی در سرشع اندازه‌گیری می‌شوند. با این مشاهدات، تأخیر فاز θ (بر حسب رادیان) و سختی دینامیکی مختلط سیستم خاک-شمع به صورت زیر می‌تواند به دست آید:

$$\theta = \omega t_1 = 2\pi f t_1$$

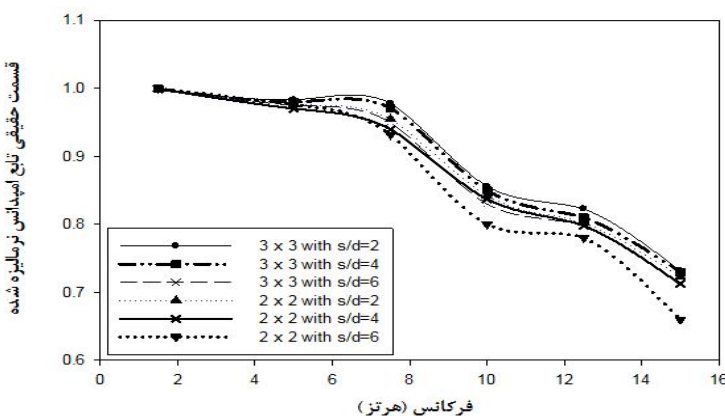
$$K_0 = \left(\frac{P_0}{U_0} \right) e^{i\theta} \quad (13)$$

که در آن f فرکانس ارتعاش به هرتز می‌باشد. با جداسازی سختی دینامیکی داده شده به وسیله‌ی معادله بالا به قسمت‌های حقیقی و مجازی، ثابت فنر (شامل اثر اینرسی) و ثابت میرایی می‌توانند به دست آیند. شکل‌های (۶) و (۵) تغییرات قسمت حقیقی تابع امپدانس را با فرکانس ارتعاش در گروههای شمع متفاوت به ترتیب مربوط به مطالعه‌ی اول و مطالعه‌ی دوم نشان می‌دهند. شکل‌های (۸) و (۷) نیز گویای تغییرات قسمت مجازی این توابع با فرکانس به ترتیب

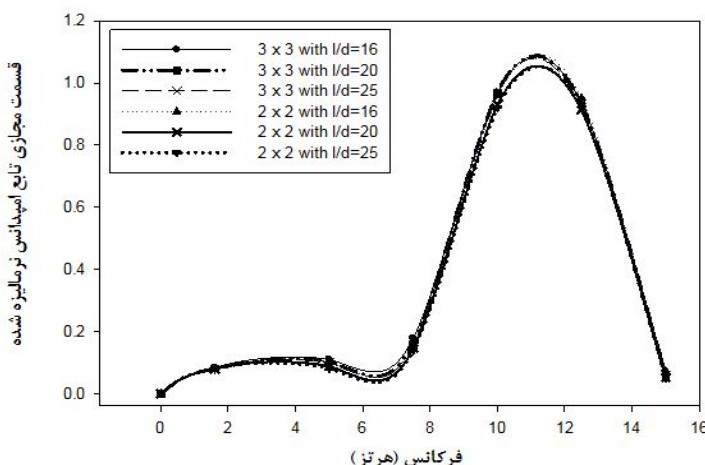
کمتر تفاوت زیادی را در مورد قسمت مجازی تابع امپدانس با سیستم های شمع - خاک سخت تر نشان نمی دهد.



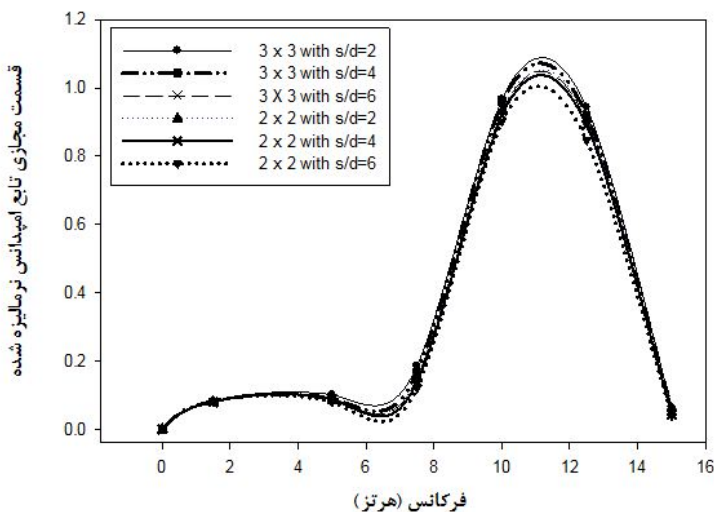
شکل ۵ تغییرات قسمت حقیقی تابع امپدانس برای گروه های شمع 2×2 و 3×3 با فرکانس ارتعاش با توجه به نسبت های طول به قطر متفاوت شمع ها



شکل ۶ تغییرات قسمت حقیقی تابع امپدانس برای گروه های شمع 2×2 و 3×3 با فرکانس ارتعاش و مقایسه مقادیر آنها با توجه به نسبت های فاصله به قطر متفاوت



شکل ۷ تغییرات قسمت مجازی تابع امپدانس برای گروه های شمع 2×2 و 3×3 با فرکانس ارتعاش با توجه به نسبت های طول به قطر متفاوت شمع ها



شکل ۸ تغییرات قسمت مجازی تابع امپدانس برای گروه‌های شمع 2×2 و 3×3 با فرکانس ارتعاش با توجه به نسبت‌های فاصله به قطر متفاوت

با خاک اطراف می‌باشد و بنابراین قسمت بیشتری از انرژی موج لرزه‌ای از طریق تماس بین بدنه‌ی شمع و خاک منتقل و میرا می‌گردد.

نتیجه‌گیری

در این مطالعه اثر پارامترهای نسبت طول شمع‌ها به قطر آن‌ها و اثر نسبت فاصله به قطر شمع‌ها در گروه‌های شمع چهارتایی (2×2) و نه تایی (3×3) بر اندرکنش خاک-شمع-سازه (اندرکنش‌های سینماتیک و وابسته به اینرسی با مشاهده‌ی تغییرات توابع انتقال و امپدانس) مورد بررسی قرار گرفت. این بررسی در مطالعه‌ی اول برای سه نسبت متفاوت طول به قطر و در مطالعه‌ی دوم برای سه نسبت متفاوت فاصله به قطر در گروه شمع در فضای فرکانسی به صورت تحلیل‌های سه‌بعدی با استفاده از نرم‌افزار ABAQUS انجام گرفت و نتایج زیر به دست آمد:

- با افزایش نسبت طول به قطر شمع‌ها در گروه‌های شمع متفاوت، مقدار توابع انتقال نیز افزایش پیدا می‌کند. دلیل این مسئله می‌تواند کاهش سختی سیستم و بنابراین افزایش تغییرمکان قابل مشاهده در سر شمع‌ها باشد. با افزایش نسبت فاصله به

دلیل این مسئله می‌تواند این باشد که در سیستم‌های نرم‌تر، افزایش طول شمع‌ها منجر به ایجاد سطح تماس بیشتر با خاک اطراف می‌گردد و بنابراین اگرچه اثر افزایش طول شمع‌ها کاهش سختی در سیستم و در نتیجه کاهش میرایی به دلیل افزایش جدایش بین شمع و خاک است، اما افزایش سطح تماس خاک و شمع اثر معکوس بر کاهش میرایی و تفاوت در میزان قسمت مجازی تابع امپدانس در گروه‌های شمع با سختی متفاوت را محدود نموده است. شکل (۸) نیز همانند موارد مربوط به مطالعه‌ی اول به میرایی کمتر سیستم‌های دارای سختی پایین‌تر به دلیل ارتعاش هماهنگ بیشتر همراه با خاک اطراف و نیز اثر جدایش بین شمع و خاک بر مقدار میرایی اشاره دارد. از آن‌جا که در سیستم‌های دارای سختی کم‌تر، هماهنگی حرکت با خاک اطراف بیشتر می‌باشد، از میزان میرایی نسبت به سیستم‌های سخت‌تر کاسته می‌گردد. علاوه بر این، به دلیل وجود حرکت بیشتر در این سیستم‌ها اثر جدایش بین بدنه‌ی شمع و خاک مشهودتر می‌باشد و در نتیجه از میرایی تشبعی بین بدنه‌ی شمع و خاک کاسته می‌گردد. این در حالی است که سیستم‌های سخت‌تر دارای جدایش کم‌تری

خود را نشان می دهد. این مسئله در واقع بدان معنی است که افزایش این نسبت منجر به کاهش سختی سیستم می گردد. اثر این کاهش را در فرکانس های خاصی که وابسته به مشخصات سیستم مرکب متشکل از خاک و شمع و سازه می باشد، بیشتر می توان دید.

۴- اثر افزایش نسبت طول به قطر شمع ها به صورت کاهش قسمت مجازی در این گونه سیستم ها خود را نشان می دهد که گویای کاهش میرایی در سیستم است.

این مسئله می تواند به افزایش جدایش بین شمع و خاک در گروه های شمع دارای نسبت طول به قطر بیشتر و در واقع سختی کمتر مربوط باشد که منجر به کاهش میرایی تشبعی در سیستم می گردد. با این حال بایستی توجه داشت که با افزایش طول شمع ها، سطح تماس خاک و شمع نیز افزایش می یابد و بنابراین میرایی تشبعی در سیستم که وابسته به سطح تماس دو جسم می باشد، افزایش می یابد. برآیند این دو اثر منجر به تفاوت اندک مقدار مجازی تابع امپدانس در سیستم های خاک- شمع متفاوت می گردد. با افزایش نسبت فاصله به قطر شمع ها قسمت مجازی توابع امپدانس نسبت به مقادیر مربوط به حالت های دارای فواصل کمتر شمع ها دچار کاهش می شوند. این مسئله نیز همانند مطالعه اول به دلیل اثر این تغییر بر سختی سیستم (کاهش آن) می باشد که منجر به تغییر مکان های بیشتر گروه شمع به خصوص در سرشع مع می گردد. متعاقب آن، جدایش بیشتر بین شمع و خاک در سیستم های نرم تر و در واقع تماس کمتر بدنه شمع و خاک منجر به کاهش میرایی تشبعی در سیستم می گردد که به صورت کاهش قسمت مجازی تابع امپدانس خود را نشان می دهد.

قطر شمع ها می توان مشاهده نمود که مقدار توابع انتقال نیز متناظر با این تغییر افزایش می یابند. این مسئله می تواند به کاهش انسجام سیستم گروه شمع در نتیجه افزایش فاصله ای بین شمع ها و در واقع کاهش راندمان مربوط به عملکرد گروهی آنها نسبت داده شود. به عبارت دیگر، سیستم به صورت غیر منسجم و با مقاومت خمی کمتر متجه از عمل کرد ناهمانگ شمع ها در گروه شمع در برابر بار وارد مقاومت نموده و نسبت تغییر مکان های سرشع مع به میدان آزاد افزایش می یابند. کاهش یکپارچگی مقاومتی سیستم در برابر نیروهای جانبی و تغییر مکان های بیشتر در سرشع، افزایش توابع انتقال را به دنبال دارد. این مسئله مانند آن است که سیستم سختی خمی کمتری را نسبت به حالت گروه شمع مشابه با راندمان بالاتر دارد. علاوه بر این می توان مشاهده نمود که افزایش تعداد شمع ها در گروه باعث کاهش تغییر مکان سرشع و در نتیجه کاهش توابع انتقال می گردد.

۲- افزایش مقدار فرکانس ارتعاش در گروه های شمع دارای سختی پایین تر منجر به نزدیکی بیشتر مقادیر توابع انتقال در این گروه شمع ها به توابع انتقال مربوط به گروه شمع های سخت تر می گردد. این مسئله می تواند به دلیل ارتعاش بالاتر در این فرکانس ها و تقارن با فرکانس طبیعی در سیستم های سخت باشد.

۳- افزایش نسبت طول به قطر شمع ها منجر به کاهش قسمت حقیقی تابع امپدانس گردید که بیانگر کاهش سختی سیستم خاک- شمع است. در بررسی اندرکنش وابسته به اینرسی در مطالعه دوم نیز اثر افزایش نسبت فاصله به قطر شمع ها به صورت کاهش قسمت حقیقی توابع امپدانس

مراجع

1. Balendra, S., "Numerical Modeling of Dynamic Soil-Pile-Structure Interaction", M.Sc. Thesis, Washington State University, (2005).
2. Goodson, M. W. and Anderson, J. B., "Soil-Structure Interaction-a Case Study", *Proceedings of the 2005 Structures Congress and the 2005 Forensic Engineering Symposium*, New York, (2005)
3. Nogami, T. and Konagai, K., "Time domain axial response of dynamically loaded single piles", *Journal of Engineering Mechanics*, ASCE, 112 (11), pp. 1241-1252, (1986).
4. Nogami, T. and Konagai, K., "Time domain flexural response of dynamically loaded single piles", *Journal of Engineering Mechanics*, ASCE, 114 (9), pp. 1512-1525, (1988).
5. El Naggar, M. H. and Novak, M., "Nonlinear lateral interaction in pile dynamics", *Soil Dynamics and Earthquake Engineering*, 14, pp. 141-157, (1995).
6. El Naggar, M. H. and Novak, M., "Nonlinear analysis for dynamic lateral pile response", *Soil Dynamics and Earthquake Engineering*, 15, pp. 233-244, (1996).
7. Wu, G. and Finn, W. D. L., "Dynamic nonlinear analysis of pile foundations using finite element method in the time domain", *Canadian Geotechnical Journal*, 34, pp. 44-52, (1997).
8. Bentley, K. J. and El Naggar, M. H., "Numerical analysis of kinematic response of single piles", *Canadian Geotechnical Journal*, 37, pp. 1368-1382, (2000).
9. Penzien, J., "Soil-Pile Foundation Interaction", Earthquake Engineering, Chapter 14, Prentice- Hall, pp. 349-381, (1970).
10. Cai, Y. X., Gould, P. L. and Desai, C. S., "Nonlinear analysis of 3D seismic interaction of soil-pile-structure system and application", *Engineering Structures*, 22 (2), pp. 191-199, (2000).
11. Maheshwari, B. K., Truman, K. Z., Gould, P. L. and El-Naggar, M. H., "Three dimensional nonlinear dynamic behavior of pile groups using finite element method in the time domain", *Canadian Geotechnical Journal*, 41, pp. 118-133, (2003).
12. Poulos, H. G., "Analysis of the Settlement of Pile groups", *Géotechnique*, 18 (4), pp. 449-471, (1968).
13. Poulos, H. G., "Behavior of Laterally Loaded piles, II: Pile Groups", *Journal of Soil Mechanics and Foundation Engineering*, ASCE, 97 (SM5), pp. 773-751, (1971).
14. Butterfield, R. and Banerjee, P. K., "The Elastic Analysis of Compressible Piles and Pile Groups", *Géotechnique*, 21, pp. 43-60, (1971).
15. Kausel, E. and Peek, R., "Boundary integral method for Stratified Soils", Res. Re, R82-50, MIT, Cambridge, MA, (1982).
16. Kaynia, A. M. and Kausel, E., "Dynamic behavior of pile groups", *Proc. of the 2nd int. conference on numerical methods in offshore piling*, Texas University, Austin, pp. 509-532, (1982).

17. Sen, R., Davies, T. G. and Banerjee, P. K., "Dynamic Analysis of Piles and Pile Groups Embedded in Homogeneous Soils", *Earthquake Engineering and Structural Dynamics*, 13, pp. 53-65, (1985).
18. Ahmad, S. and Mamoon, S. M., "Seismic Response of Floating Piles to Obliquely Incident Waves", *Proc. of the 2nd int. conference on recent advances in geotechnical earthquake engineering and soil dynamics*, St. Louis, MO., University of Missouri-Rolla Publication, pp. 805-814, (1991).
19. Novak, M. and Mitwally, H., "Transmitting boundary for axisymmetrical dilation problems", *Journal of Engineering Mechanics*, ASCE, 114 (1), pp. 181-187, (1988).